

รายการอ้างอิง

กองกระพัน อินทรแจ้ง. TOC Process Overview. บริษัทไทยโอเลฟินส์ จำกัด, มกราคม 2538.

บรรเลง ศรีนิต, ธีรวิภา บุญยโสภณ, วีรพงษ์ เฉลิมจิระรัตน์ และนิติ สงวณศักดิ์. พื้นฐานเครื่องทำความเย็น. พิมพ์ครั้งที่ 1. กรุงเทพมหานคร: สถาบันเทคโนโลยีพระจอมเกล้าพระนครเหนือ, 2527.

พรพจน์ หันหาบุญ, เกษมสันต์ จันทรปลั่ง และคณะ. Process Instrumentation : Theory & Practice Part I (Measurement). กรุงเทพมหานคร: สมาคมส่งเสริมเทคโนโลยี (ไทย-ญี่ปุ่น), กันยายน 2538.

สมศักดิ์ กิริตวิวัฒน์เศรษฐ์. หลักการและการทำงานของเครื่องมือวัดอุตสาหกรรม. พิมพ์ครั้งที่ 8. กรุงเทพมหานคร: สมาคมส่งเสริมเทคโนโลยี (ไทย-ญี่ปุ่น), 2537.

Aspen Technology. Aspen Plus Users Manual. Massachusetts. USA: AspenTech Ltd. Cambridge, 1993.

Bailey J.K., Hrymak A.N., Treiber S.S. and Hawkins R.B.. Nonlinear Optimization of a Hydrocracker Fractionation Plant. Computers Chemical Engineering. (1993): 123-138.

Biegler L.T., Grossmann E.I. and Westerberg A.W.. Systematic Methods of Chemical Process Design New Jersey: Prentice-Hall, 1997.

Crowe C.M., Compos Y.A. G. and Hrymak. A.. Reconciliation of Process Flow Rates by Matrix Projection. AIChE Journal. Vol.29 (1983): 881-888.

Crowe C.M., Reconciliation of Process Flow Rates by Matrix Projection Part II : The Nonlinear Case. AIChE Journal. (1986).

Dossat R.J.. Principles of Refrigeration. Texas: Prentice Hall, 1991.

EBARA Corporation Instruction. Manual for Propylene Refrigeration Compressor.

- Edgar T.F. and Himmelblau D.M.. Optimization of Chemical Process. New York: McGraw-Hill, 1988.
- Edward C. B.. Planning, Scheduling and Control Integration in the Process Industries. New York: McGraw-Hill, 1995.
- Factora F.C., Gochenour G.B. and Kelly D.N. Modeling Ethylene Plants for Real-Time Optimization Applications. Lyondell Petrochemical Company: 557-569.
- Fisher-rosemount: Rosemount measurement. Comparing Product Catalog. England: Fisher-rosemount (January 1997): Reference 70.
- Fletcher R.. Practical Method of Optimization. 2nd ed. Chichester: John Wiley & sons,1996.
- Glascock D.A. and Hale J.C., Process Simulation: The Art and Science of Modeling. Chemical Engineering. (1994).
- Hutchison, J. W. ISA Handbook of Control Valves. Instrument Society of America,1971.
- Liebman M.J., Edgar T.F. and Lasdon L. S.. Efficient Data Reconciliation and Estimation for Dynamic Processes Using Nonlinear Programming Techniques. Computer Chemical Engineering. Vol.16 (1992): 963-986.
- Macchietto S., Stuart G., Perris T.A. and Dissinger G.R.. Monitoring and On-Line Optimization of Process Using SPEEDUP. Computer Chemical Engineering. (1989).
- MacDonald R.J., Howat C.S.. Data Reconciliation and Parameter Estimation in Plant Performance Analysis. AIChE Journal. Vol. 34 (1988).
- Mah S.H.. Design and Analysis of Process Performance Monitoring Systems. Chemical Process Control II. (1981): 525-540.
- Naysmith M. R. and Douglas P. L. . Review of Real Time Optimization in the Chemical Process Industries, Canada: 1995.

- Piccolo M., Douglas P. L. and Lee P. L.. Data Reconciliation Using Aspen Plus. Australia: 1996.
- Picciotti M.. Optimize C2H4 Plant Refrigeration Hydrocarbon Processing. Rome:1979.
- Pierucci S., Brandani P., Ranzi E., Sogaro A.. An Industrial Application of An On-Line Data Reconciliation and Optimization Problem. Computers Chemical Engineering. Vol. 20 (1996).
- Rao S.S.. Engineering Optimization. 3rd ed.. Indiana: John Wiley & Sons, 1995.
- Shannon, Robert E. Systems Simulations :the art&science. Prentice Hall,New Jersey,1975.
- Shewchuk C.F. and Morton W.. The Evolution of an On-Line Model-Based Optimization System. Pulp Paper Canada. (1994).
- Stephenson G.R. and Shewchuk C.F.. Reconciliation of Process Data with Process Simulation. AIChE Journal. (1986).
- Stone & Webster Engineering. Operating Manual for Olefins Plant Project.
- Stone & Webster Engineering. Project Record Book for Thai Olefins Plant Project Map Ta Phut, Thailand.
- Tjoa I.B. and Biegler L.T.. Simultaneous Strategies for Data Reconciliation and Gross Error Detection of Nonlinear Systems. Computer Chemical Engineering. (1991).
- Vasantharajan S. and Biegler L.T.. Large-Scale Decomposition for Successive Quadratic Programming. Computers Chemical Engineering. (1988) : 1087-1101.
- Yamatake Honeywell. Sizing of Control Valves. Japan: Yamatake Honeywell Ltd., 1987.
- Yamatake Honeywell, Specification Handbook, Japan: Yamatake Honeywell Ltd.,

ภาคผนวก

ภาคผนวก ก

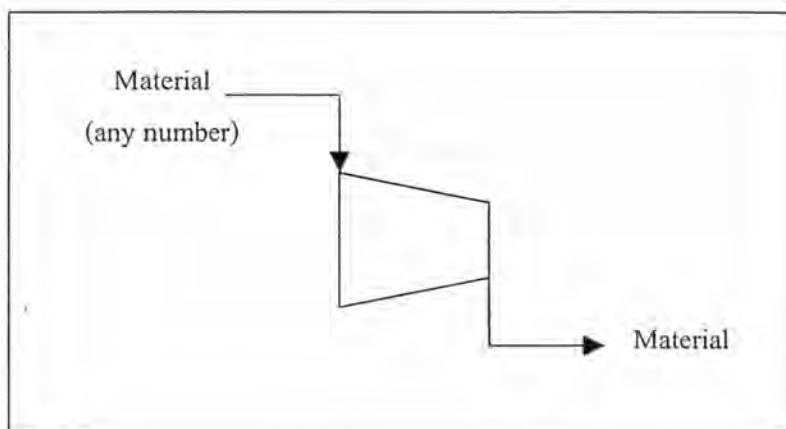
โปรแกรมแอสเพนพลัส

โปรแกรมแอสเพนพลัสเป็นซอฟต์แวร์ที่พัฒนาโดยสถาบัน M.I.T. (Massachusetts Institute of Technology) เพื่อใช้ในการสร้างแบบจำลองกระบวนการและอุปกรณ์ โซฟแวร์นี้ถูกออกแบบให้ผู้ชำนาญ (Expert) เกี่ยวกับระบบที่ไม่จำเป็นจะต้องรู้การเขียนโปรแกรมไว้

แอสเพนพลัสเป็นซิมูเลเตอร์แบบมอดูลาร์ (Sequential Modular, S.M.) ซึ่งการคำนวณของซิมูเลเตอร์แบบนี้ จะมีการแก้ปัญหของแบบจำลองในระบบปฏิบัติการหน่วยทีละหน่วยตามลำดับ หรือเรียกอีกอย่างว่า ตัวเลขแบบกระบวนการรูปแบบปิด (closed form) และถ้ากระบวนการมีสายรีไซเคิล (Recycle) การหาคำตอบจะมีการทำซ้ำ (Iterative) และใช้เทคนิควิธีการลู่เข้าหาคำตอบ (Convergence) ยกตัวอย่างเช่นวิธี Wegstein's Method เพื่อปรับให้เป็นไปตามคลุมวลและพลังงาน นอกจากนี้ผู้ใช้นี้ยังสามารถเลือกใช้วิธีอื่นๆ อีกที่มีอยู่ในโปรแกรมแอสเพนพลัสได้แก่ Complex , Direct, Secant, Broyden และ Newton Method

ก.1 แบบจำลองหน่วยกระบวนการที่ใช้ในงานวิจัย

ก.1.1 แบบจำลองของคอมเพรสเซอร์ (COMPR)

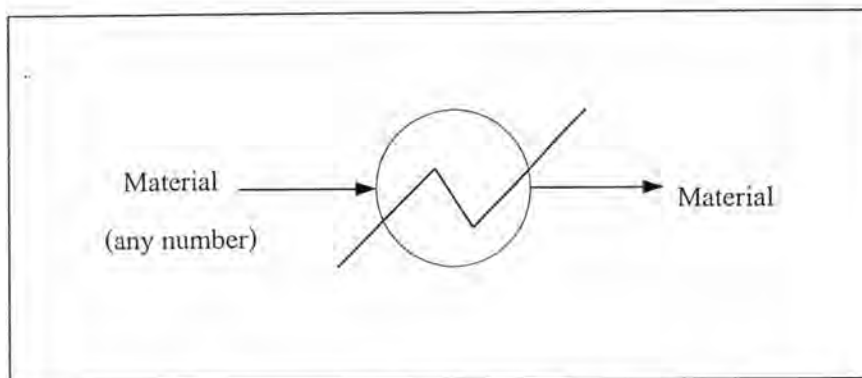


รูป ก.1 แบบจำลองคอมเพรสเซอร์

ทางเข้า	สายกระบวนการของสารมีได้มากกว่า 1 สาย
ทางออก	สายกระบวนการของสารมีได้เพียง 1 สายเท่านั้น

การคำนวณของแบบจำลองคอมเพรสเซอร์ ให้ผู้ใช้ระบุหรือกำหนดพารามิเตอร์อย่างหนึ่ง เพื่อให้ได้ผลที่ต้องการอีกอย่างหนึ่ง อย่างเช่น ถ้าต้องการคำนวณความดันที่ทางออก ผู้ใช้ต้องกำหนดกำลังของคอมเพรสเซอร์ ในทางกลับกันถ้ากำหนดความดันที่ทางออกจะได้ผลการคำนวณกำลังของคอมเพรสเซอร์ อีกทั้งต้องกำหนดประเภทของแบบจำลองคอมเพรสเซอร์ด้วยซึ่งสามารถเลือกใช้ได้หลายแบบได้แก่ คอมเพรสเซอร์แบบโพลีโทรปิก คอมเพรสเซอร์แบบไอเซนโทรปิก และกังหันไอเซนโทรปิกเป็นต้น สำหรับกรณีที่ผู้ใช้ให้ความสำคัญกับคอมเพรสเซอร์มากๆ ควรเพิ่มสมรรถภาพของแบบจำลองโดยระบุข้อมูลที่มีรายละเอียดสูงได้แก่ เส้นโค้งลักษณะเฉพาะของความดันที่ปล่อย (หรือการเปลี่ยนความดัน หรือ อัตราส่วนความดัน) กับอัตราการไหลเชิงปริมาตรที่ความเร็วรอบต่างๆ และ/หรือ เส้นโค้งลักษณะเฉพาะของประสิทธิภาพกับอัตราการไหลเชิงปริมาตรที่ความเร็วรอบต่างๆ

ก.1.1.2 แบบจำลองเครื่องทำความร้อน/เครื่องทำความเย็น HEATER

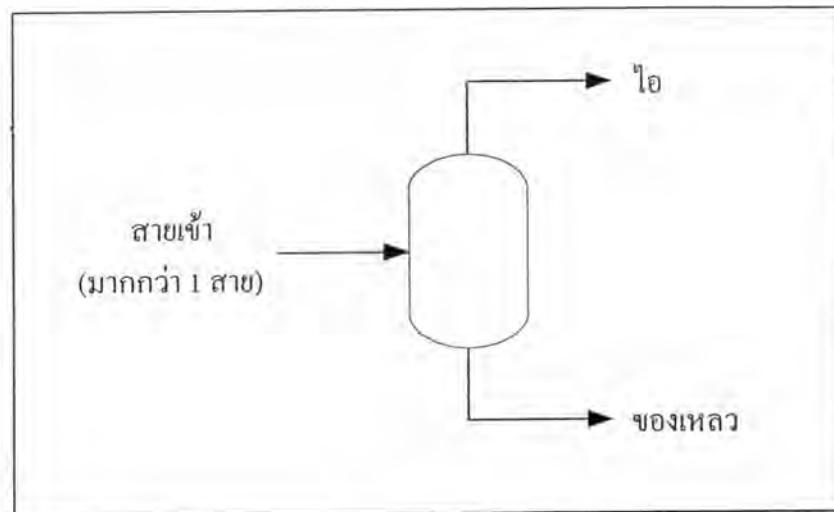


รูป ก.2 แบบจำลองเครื่องทำความร้อน/เครื่องทำความเย็น

ทางเข้า	สายกระบวนการมีได้มากกว่า 1 สาย นอกจากนี้อาจมีสายความร้อนอีกกี่สายก็ได้
ทางออก	สายกระบวนการมี 1 สายและ อาจมี 1 สายปล่อยน้ำ นอกจากนี้ถ้าสายเข้ามีสายความร้อน จะต้องมีสายความร้อนออกอีก 1 สาย

แบบจำลอง HEATER นี้เป็นได้ทั้งเครื่องทำความร้อนและ เครื่องทำความเย็น สำหรับการกำหนดพารามิเตอร์ผู้ใช้สามารถเลือกได้ 2 ตัว ได้แก่ ความดัน อุณหภูมิ สัดส่วนของการเกิดไอ การเปลี่ยนแปลงอุณหภูมิ องศาของความร้อนยิ่งยวด องศาของความเย็นที่ลดลง และภาระ (Duty) ของเครื่องทำความร้อน หรือเครื่องทำความเย็น นอกจากนี้อาจกำหนดผลของสถานะ ได้ด้วย

ก1.1.3 แบบจำลองถังแฟลช FLASH2

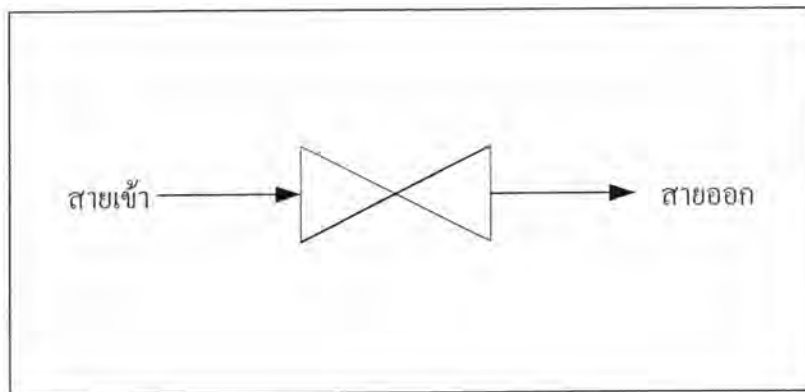


รูป ก.3 แบบจำลองถังแฟลช

ทางเข้า	สายกระบวนการมีได้มากกว่า 1 สาย
ทางออก	1 สายกระบวนการของไอ สำหรับทางออกด้านบนและ 1 สายกระบวนการของของเหลว สำหรับออกก้นถัง นอกจากนี้อาจมีสายปล่อยน้ำ 1 สาย

ผู้ใช้สามารถเลือกกำหนดพารามิเตอร์ 2 ตัวได้แก่ อุณหภูมิ ความดัน สัดส่วนการเกิดไอ และภาระ (Duty) ของถังแฟลช แต่สำหรับการสร้างแบบจำลองระบบทำความเย็นด้วยโพรพิลีนถังแฟลชนี้เปรียบเสมือนเป็นถังแยกไอออกจากของเหลว ดังนั้นจึงเลือกกำหนดให้ความดันตกคร่อมเป็น 0 และภาระของถังเท่ากับ 0 เนื่องจากภายในถังไม่มีการให้พลังงานหรือเปลี่ยนแปลงความดัน

ก1.1.4 แบบจำลองวาล์ว VALVE



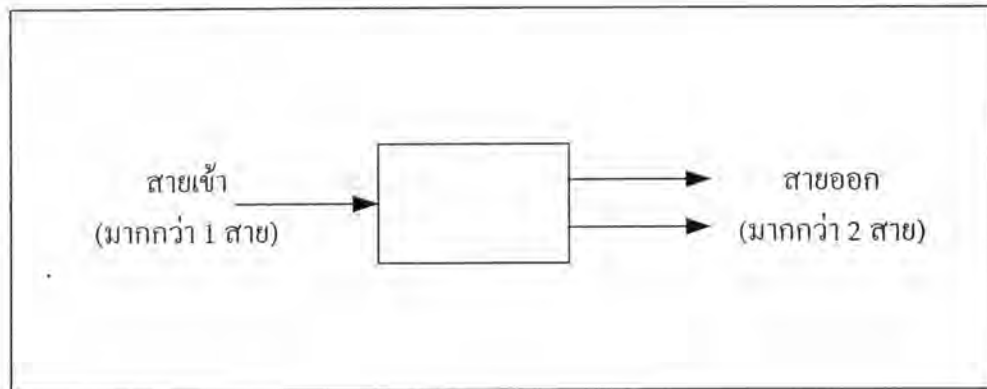
รูป ก.4 แบบจำลองวาล์ว

ทางออก สายกระบวนการของสารเพียง 1 สาย

ทางเข้า สายกระบวนการมี 1 สายเช่นกัน

การคำนวณของแบบจำลองวาล์วมี 2 แบบ แบบแรกเป็นการกำหนดค่าความดันที่ต้องการหรือความดันตกคร่อม เพื่อคำนวณเกี่ยวกับการไหลของวาล์ว ได้ผลของสายออกมีการเปลี่ยนแปลงสถานะ และแบบที่ 2 คือต้องการคำนวณความดันขาออกและความดันตกคร่อม แบบนี้จะต้องกำหนดสัมประสิทธิ์การไหลของวาล์ว

ก1.1.5 แบบจำลองอุปกรณ์แยกสาย FSPLIT



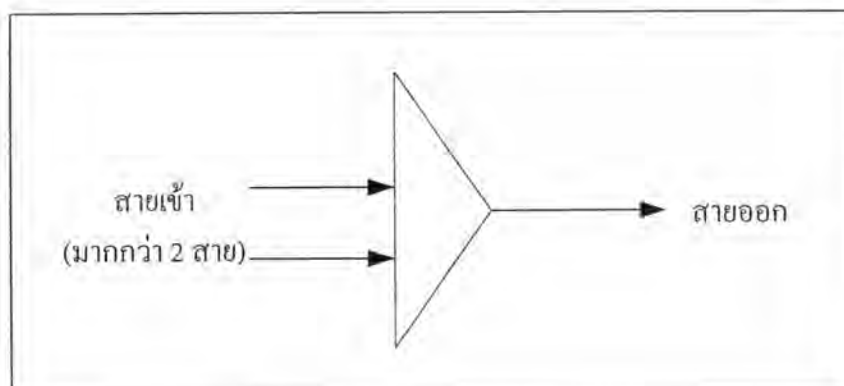
รูป ก.5 แบบจำลองอุปกรณ์แยกสาย

ทางเข้า สายของกระบวนการอาจมีได้มากกว่า 1 สายขึ้นไป

ทางออก สายของกระบวนการมีได้ไม่ต่ำกว่า 2 สาย

ประโยชน์ของแบบจำลองนี้คือ สามารถแบ่งการไหลออกเป็น 2 สายหรือมากกว่านั้น โดยเลือกกำหนดพารามิเตอร์ตัวใดตัวหนึ่งได้แก่ สัดส่วนของการแยก อัตราการไหลโดยมวล อัตราการไหลโดยโมล และอัตราการไหลเชิงปริมาตร

ก1.1.6 แบบจำลองอุปกรณ์รวมสาย



รูป ก.6 แบบจำลองอุปกรณ์รวมสาย

ทางเข้า สายของกระบวนการต้องไม่ต่ำกว่า 2 สาย

ทางออก สายของกระบวนการ 1 สาย

ประโยชน์ของแบบจำลอง MIXER คือเพื่อรวมสายกระบวนการเข้าที่มีตั้งแต่ 2 สายขึ้นไปให้กลายเป็นสายออก 1 สาย นอกจากจะใช้กับสายของสารแล้วยังใช้กับสายของความร้อน และสายของงานได้อีกด้วย แต่สายที่แตกต่างกันคนละชนิดนี้ไม่สามารถรวมกันเป็นสายเดียวกันได้ สำหรับแบบจำลองนี้ไม่จำเป็นต้องกำหนดพารามิเตอร์แก่แบบจำลอง แต่ถ้าผู้ใช้ต้องการกำหนดความดัน สถานะ และอุณหภูมิการประมาณให้แก่แบบจำลองก็สามารถทำได้

ภาคผนวก ข

ลักษณะเฉพาะของวาล์ว

ข.1 สัมประสิทธิ์การไหลของวาล์ว (Flow Coefficient of Valve, C_v)

C_v เป็นตัวบ่งชี้ความจุการไหลของวาล์วควบคุมในหน่วย US แกลลอนต่อนาที (gallons/minute) ของน้ำที่ 60 °F เมื่อความดันแตกต่างระหว่างทางเข้า และทางออกของวาล์วเป็น 1 พีเอส ไอ (psi)

ข.2 การคำนวณค่าสัมประสิทธิ์การไหลของวาล์วสำหรับของเหลว

จากหลักการประหยัดพลังงาน Daniel Bernoulli ค้นพบว่าขณะที่ของไหลผ่านออริฟิส (Orifice) ความเร็วของของไหลยกกำลังสองจะแปรผันตรงกับความแตกต่างของความดันในออริฟิส และแปรผกผันกับความถ่วงจำเพาะของของไหล เพราะฉะนั้นการเปลี่ยนแปลงความดันที่มาก ทำให้ความเร็วในการไหลมีค่าสูง ความหนาแน่นที่มากทำให้การไหลมีค่าน้อย

เพราะฉะนั้นจากหลักการดังกล่าวจะได้สมการ

$$Q = C_v \sqrt{\Delta P / G} \quad (\text{ข.1})$$

โดย Q = ความจุในหน่วยแกลลอนต่อนาที (gal/min)

C_v = สัมประสิทธิ์การกำหนดขนาดวาล์วหาได้จากการทดลองสำหรับขนาด และรูปแบบของวาล์วแต่ละชนิด โดยใช้น้ำที่สภาวะมาตรฐานเป็นของไหลที่ใช้ทดสอบ

ΔP = การเปลี่ยนแปลงของความดันในหน่วยปอนด์ต่อตารางนิ้ว (lbs/in^2)

G = ความถ่วงจำเพาะของของไหล (น้ำที่ 60 °F = 1)

เพราะฉะนั้น C_v คือจำนวน U.S. แกลลอนของน้ำที่ 60 °F ที่ไหลผ่านวาล์วใน 1 นาที เมื่อความแตกต่างของความดันผ่านวาล์วเท่ากับหนึ่งปอนด์ต่อตารางนิ้ว

จากสมการ (1) สามารถคำนวณค่า C_v สำหรับวาล์วที่ควบคุมน้ำหรือของไหลที่มีพฤติกรรมคล้ายน้ำดังนี้

$$C_v = Q\sqrt{G/\Delta P} \quad (\text{ข.2})$$

หรือ $C_v = 1.17Q\sqrt{G/\Delta P} \quad (\text{ข.3})$

สำหรับ Q = ความจุในหน่วยลูกบาศก์เมตรต่อชั่วโมง (m^3/hr)

ΔP = การเปลี่ยนแปลงของความดันในหน่วยกิโลกรัมต่อตารางเซนติเมตร (kgf/cm^2)

ตัวอย่างการคำนวณ

จงคำนวณค่าสัมประสิทธิ์การไหลของวาล์ว (C_v) เมื่อไฮโดรคาร์บอนเหลวที่ 100°C ไหลผ่านด้วยอัตรา 800 ลูกบาศก์เมตรต่อชั่วโมง ความดันที่ทางเข้า และทางออกเป็น 10 และ 4 kgf/cm^2 ตามลำดับ ($G = 0.82$)

การคำนวณ จากสมการ ข.3 $C_v = 1.17Q\sqrt{G/\Delta P}$

$$= 1.17 * 0.8 \sqrt{0.82 / (10 - 4)}$$

$$= 0.346$$

ข.3 ลักษณะเฉพาะของวาล์ว (Characteristic of Valve)

สมการลักษณะเฉพาะของวาล์วเป็นความสัมพันธ์ระหว่างสัมประสิทธิ์การไหลกับการเปิดวาล์ว สมการลักษณะเฉพาะของวาล์วสามารถแบ่งได้เป็น 6 ชนิดดังนี้

- (1) ลักษณะเชิงเส้น (Linear)

$$V = P$$

- (2) ลักษณะเป็นพาราโบลา (Parabolic)

$$V = 0.01P^2$$

- (3) ลักษณะรากแห่งกำลังสอง (Square Root)

$$V = 10P^{1/2}$$

- (4) ลักษณะการเปิดอย่างรวดเร็ว (Quick Opening)

$$V = 10P/(1+9.9e-3 P^2)^{1/2}$$

(5) ลักษณะเปอร์เซ็นต์ที่เท่ากัน (Equal Percentage)

$$V = 0.01P^2/(2-1e^{-8} P^4)^{1/2}$$

(6) ลักษณะเป็นไฮเปอร์โบลิก (Hyperbolic)

$$V = 0.1P/(1-9.9e-5 P^2)^{1/2}$$

ซึ่ง P = การเปิดวาล์วเท่ากับเปอร์เซ็นต์ของการเปิดวาล์วสูงสุด

V = สัมประสิทธิ์การไหลของวาล์วเท่ากับเปอร์เซ็นต์ของสัมประสิทธิ์การไหลของวาล์วที่การเปิดวาล์วสูงสุด (% C_v)

ข.4 การหาสัมประสิทธิ์การไหล และเปอร์เซ็นต์การเปิดวาล์ว

โรงงานได้มีการใช้วาล์วหลายแบบในระบบทำความเย็นด้วยโพรพิลีน ซึ่งวาล์วแต่ละตัวมีลักษณะที่แตกต่างกันคือ ชนิดและขนาดของวาล์ว ซึ่งขึ้นกับผู้ผลิตวาล์วกำหนด โดยวาล์วแต่ละตัวมีข้อมูลสำคัญๆ ได้แก่ ขนาด, แบบของวาล์ว และกราฟลักษณะเฉพาะ เป็นต้น การหาสัมประสิทธิ์การไหล และเปอร์เซ็นต์การเปิดวาล์ว สามารถหาจากคู่มือวาล์วแต่ละตัว ซึ่งประกอบด้วยตารางและกราฟความสัมพันธ์ระหว่างสัมประสิทธิ์การไหล และเปอร์เซ็นต์การเคลื่อนที่ของก้านวาล์ว โดยตารางในคู่มือวาล์วมีรายละเอียดดังนี้ ขนาดของวาล์ว ขนาดของพอร์ต อัตราของค่า C_v (Rated C_v Value) และการเคลื่อนที่ของก้านวาล์ว แสดงดังรูป ข.1

ตัวอย่างการหาเปอร์เซ็นต์การเปิดวาล์ว

วาล์วที่ใช้ในระบบทำความเย็นด้วยโพรพิลีนของโรงงานไทยโอเลฟินส์ เป็นวาล์วที่ผลิตโดยบริษัทโยโกกาวา (Yokokawa) ยกตัวอย่างวาล์ว FV4111 ชื่อแบบของวาล์วคือ HTS ซึ่งมีลักษณะเฉพาะแบบเปอร์เซ็นต์ที่เท่ากัน (Equal Percentage Characteristics) มีขนาดวาล์วเท่ากับ 2 นิ้ว และขนาดพอร์ตวาล์วเป็น 1 1/2 นิ้ว ถ้ามีผลการคำนวณค่า $C_v = 12$ สามารถหาเปอร์เซ็นต์การเปิดวาล์วได้ดังนี้

- (1) เปิดคู่มือวาล์วของแบบ HTS เริ่มจากการอ่านค่าจากตาราง ข.1 ด้วยข้อมูลขนาดวาล์ว และขนาดพอร์ตวาล์ว จะได้อัตราของค่า C_v เท่ากับ 24 นั่นแสดงว่าค่า C_v สูงสุดที่การเปิดวาล์ว 100% มีค่าเท่ากับ 24

(2) นำผลค่า C_v ที่ได้จากการคำนวณ มาเทียบกับอัตราของค่า C_v

$$\text{ดังนั้น } \%C_v = (C_v / C_v \text{ selected}) * 100 = (12/24) * 100 = 50$$

(3) จากเปอร์เซ็นต์การไหลของวาล์ว ($\%C_v$) ในข้อ (2) นำมาอ่านกราฟ ข.1 ได้
เปอร์เซ็นต์การเปิดวาล์วเป็น 77 %

Nominal size (inch)	1½			2			2½			3			4			6		
Port size (inch)	1	1¼	1½	1¾	2	2¼	2½	2¾	3	3½	4	4½	5	6	6	6	6	
Rated C_v value (%CF, LCF)	10	17	24	17	24	44	24	44	68	44	68	99	68	99	175	175	275	360
Rated travel (mm)	25						38						50					

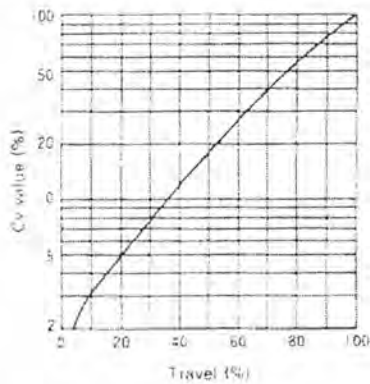


Figure 1-2-1. Equal percentage characteristics (%CF)

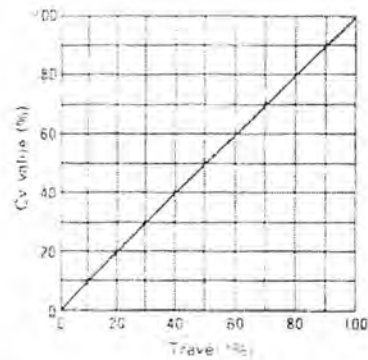


Figure 1-2-2. Linear characteristics (LCF)

รูป ข.1 ลักษณะเฉพาะของวาล์วแบบ HTS

ภาคผนวก ก

คำพิภัดของค่าผิดพลาด

คำนิยามมาตรฐานที่ใช้กันทั่วไป (ข้อมูลจากหนังสือโครงการเครื่องมือวัดอุตสาหกรรมของสมาคมส่งเสริมเทคโนโลยี (ไทย-ญี่ปุ่น), 2538)

ก.1 ความผิดพลาด (Error)

ผลต่างระหว่างค่าที่อ่านได้กับค่าจริงของค่าที่จะวัด ดังนั้นความผิดพลาดอาจเป็นไปได้ทั้งบวกและลบ ค่าความเบี่ยงเบนนี้เกิดมาจากความไม่แน่นอนในการหาค่าจริงอันเนื่องมาจากการวัด

ก.2 ความแน่นอน (accuracy)

คำนี้ใช้บอกความผิดพลาด (Error) สูงที่สุดที่เราจะได้จากการนำเครื่องวัดไปวัดค่าตัวแปร โดยปกติความแน่นอนมักจะถูกบ่งบอกด้วยความไม่แน่นอนซึ่งอาจจะปรากฏได้หลายรูปแบบ คือ

ก.2.1 ในรูปของตัวแปรที่เราวัด เช่นบอกว่าคุณแน่นอนเป็น $\pm 2^{\circ} \text{C}$ ในการวัดอุณหภูมิ หมายความว่าค่าที่แท้จริงจะอยู่ในช่วง $\pm 2^{\circ} \text{C}$ ของค่าที่อ่านได้

ก.2.2 ในรูปของเปอร์เซ็นต์ของสเกลเต็ม (Full Scale, FS) ของเครื่องวัด เช่น ความแน่นอน $\pm 0.5\% \text{ FS}$ ของมิเตอร์ที่วัดได้สูงสุด 5 โวลต์ จะหมายความว่า ความไม่แน่นอนของการวัดอยู่ในช่วง ± 0.025 โวลต์

ก.2.3 ในรูปของเปอร์เซ็นต์ของช่วงกว้าง (Span) ของเครื่องวัด ยกตัวอย่างเช่น เครื่องวัดความดันวัดได้แม่นยำ 3 % ของ span สำหรับช่วง 20-50 psi ดังนั้นความแน่นอนจะเป็น $(\pm 0.03) (50-20) = \pm 0.9 \text{ psi}$

ก.2.4 ในรูปของเปอร์เซ็นต์ของค่าจริงที่อ่านได้ ดังนั้นถ้าบอกว่า $\pm 2\%$ ของค่าที่อ่านได้ของโวลต์มิเตอร์ เราจะหมายถึงความไม่แน่นอน $\pm 0.04\%$ โวลต์ เมื่อเราอ่านค่าได้ 2 โวลต์

ก.3 ตัวอย่างการคำนวณ

เครื่องส่งสัญญาณอุณหภูมิเครื่องหนึ่งมี Span $20^{\circ}\text{C} - 250^{\circ}\text{C}$ เราวัดค่าได้ 55°C จงหาค่าความผิดพลาด (Error) ถ้าความแม่นยำ (Accuracy) เป็น (ก) $\pm 0.5\%$ FS (ข) $\pm 0.75\%$ of span และ (ค) $\pm 0.8\%$ of reading ในแต่ละกรณีค่าอุณหภูมิที่แท้จริงจะเป็นเท่าไร

คำตอบ (ก) ความผิดพลาด (Error) = $(\pm 0.005) (250^{\circ}\text{C}) = \pm 1.25^{\circ}\text{C}$

แสดงว่าอุณหภูมิที่แท้จริงอยู่ในช่วง $53.75 - 56.25^{\circ}\text{C}$

(ข) ความผิดพลาด (Error) = $(\pm 0.0075) (250 - 20)^{\circ}\text{C} = \pm 1.725^{\circ}\text{C}$

แสดงว่าอุณหภูมิที่แท้จริงอยู่ในช่วง $53.275 - 56.725^{\circ}\text{C}$

(ค) ความผิดพลาด (Error) = $(\pm 0.008) (55^{\circ}\text{C}) = \pm 0.44^{\circ}\text{C}$

แสดงว่าอุณหภูมิที่แท้จริงอยู่ในช่วง $54.56 - 55.44^{\circ}\text{C}$

ตัวอย่างการคำนวณ การหาค่าพิสัยของค่าผิดพลาด (สำหรับบทที่ 4 ในตาราง 4.3 และ 4.5)

ยกตัวอย่างเช่นการหาพิสัยของค่าผิดพลาดในการวัดอัตราการไหลของสาย 6500 อุปกรณ์วัดอัตราการไหลมีช่วงกว้าง (Span) ของเครื่องวัด $0-550,000$ กิโลกรัมต่อชั่วโมง และมีความไม่แม่นยำ (Accuracy) เป็น $\pm 0.1\%$ of span (ข้อมูลของอุปกรณ์วัดจากโรงงาน)

ความผิดพลาด (Error) = $(\pm 0.001) (0-550,000) = \pm 550$ กิโลกรัมต่อชั่วโมง

ดังนั้นความผิดพลาดของการวัดอยู่ในช่วง ± 550 กิโลกรัมต่อชั่วโมง ถ้าข้อมูลวัดค่าได้ 354194.800 กิโลกรัมต่อชั่วโมงแสดงว่าอัตราการไหลที่แท้จริงจะอยู่ในช่วง $353644.8 - 354744.8$ กิโลกรัมต่อชั่วโมง

ส่วนการวัดอุณหภูมิของสายกระบวนการ (Stream) ต่างๆ ในระบบจริงใช้เทอร์โมคัปเปิลแบบ E ซึ่งมีพิสัยของค่าผิดพลาดเป็น $\pm 1.7^{\circ}\text{C}$ (ข้อมูลจากหนังสือหลักการและการทำงานของมือวัดอุตสาหกรรม ของสมศักดิ์ กิระวิบูลย์เศรษฐ์ สมาคมส่งเสริมเทคโนโลยี (ไทย-ญี่ปุ่น), 2537)

ภาคผนวก ง

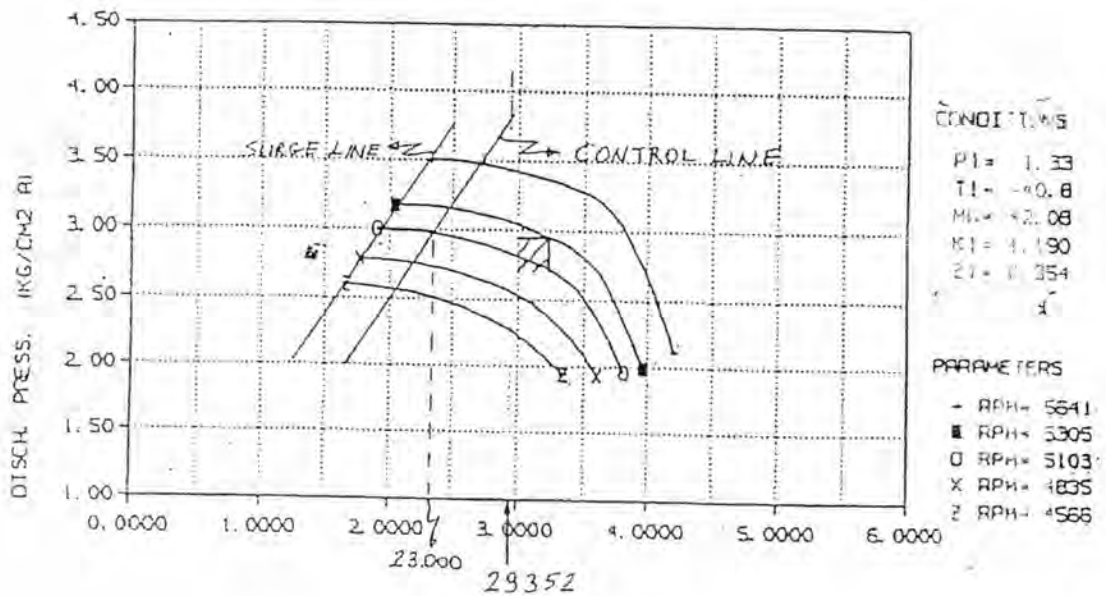
เส้นโค้งลักษณะเฉพาะของคอมเพรสเซอร์ (Characteristic Curve)

ง.1 เส้นโค้งลักษณะเฉพาะของคอมเพรสเซอร์ขั้นที่ 1

ง.1.1 เส้นโค้งความสัมพันธ์ระหว่างความดันที่ปล่อยและอัตราการไหลเชิงปริมาตรของคอมเพรสเซอร์ขั้นที่ 1

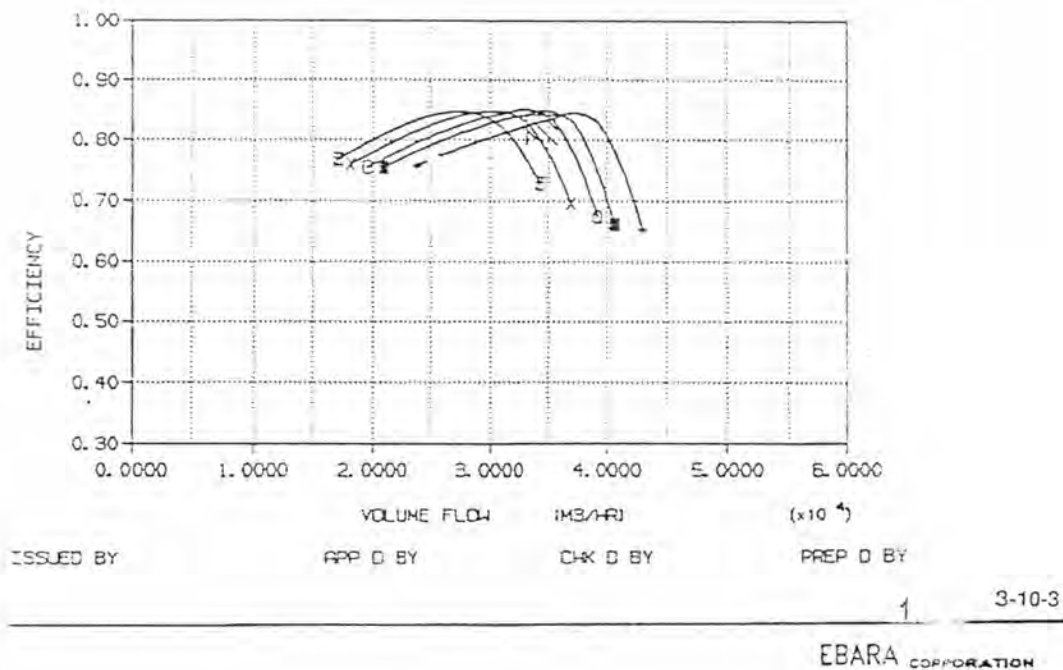
FINAL USER MAP TA PLUT
 REQUIREMENTS 1ST SECTION
 REMARKS CASE 1

CURVE NO. C3-001



รูป ง.1 เส้นโค้งความสัมพันธ์ระหว่างความดันที่ปล่อยและอัตราการไหลเชิงปริมาตรของคอมเพรสเซอร์ขั้นที่ 1

ง.1.2 เส้นโค้งความสัมพันธ์ระหว่างประสิทธิภาพโพลีทรอปิกและอัตราการไหลเชิงปริมาตรของคอมเพรสเซอร์ขั้นที่ 1

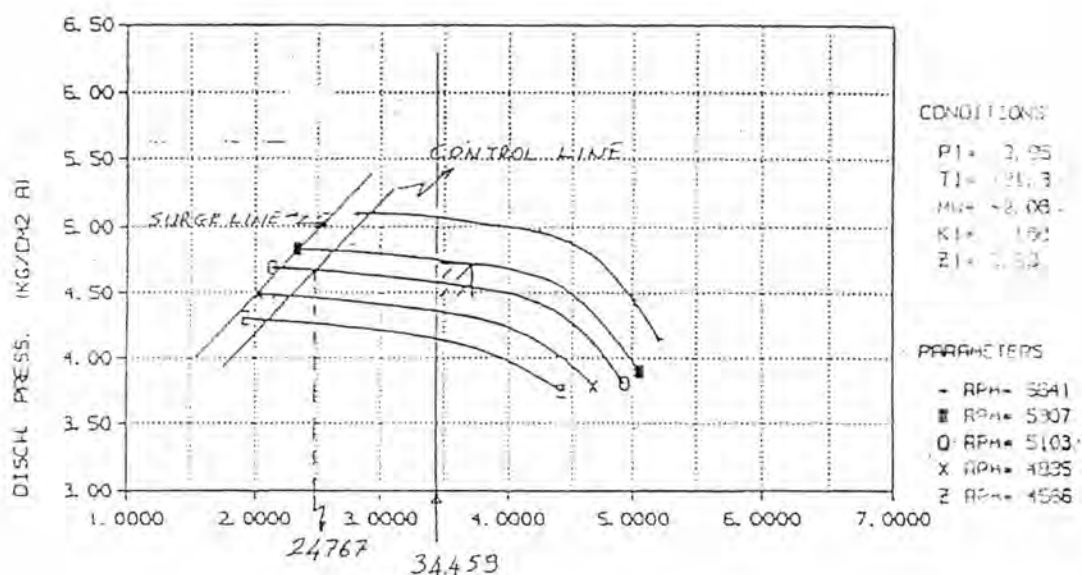


รูป ง.2 เส้นโค้งความสัมพันธ์ระหว่างประสิทธิภาพโพลีทรอปิกและอัตราการไหลเชิงปริมาตรของคอมเพรสเซอร์ขั้นที่ 1

ง.2 เส้นโค้งลักษณะเฉพาะของคอมเพรสเซอร์ขั้นที่ 2

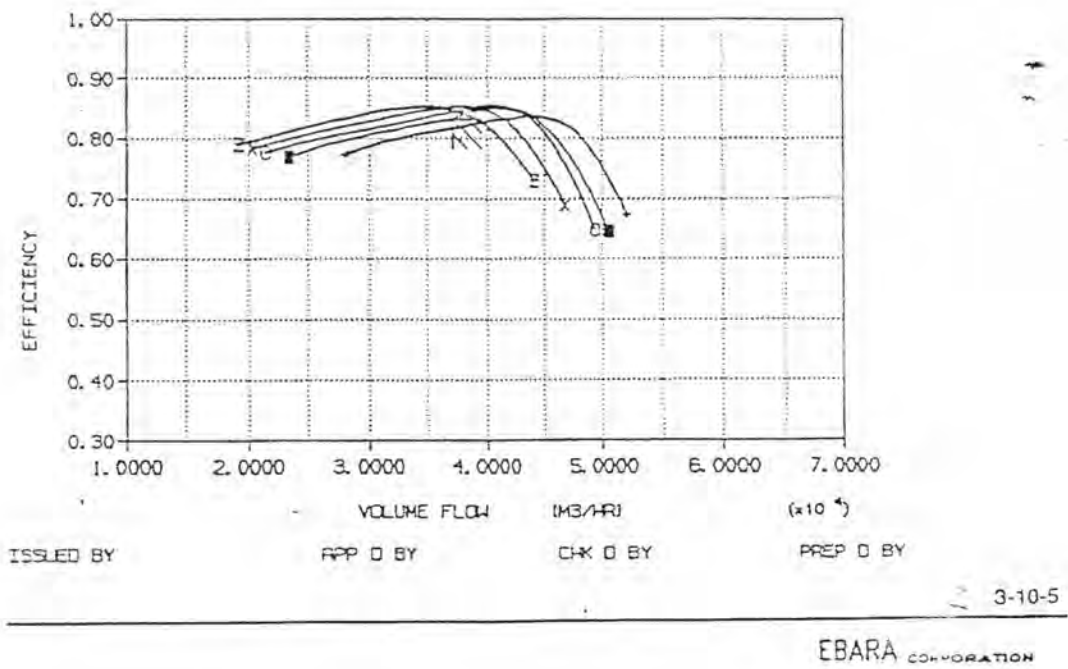
ง.2.1 เส้นโค้งความสัมพันธ์ระหว่างความดันที่ปล่อยและอัตราการไหลเชิงปริมาตรของคอมเพรสเซอร์ขั้นที่ 2

FINAL USER MAP TA RAUT CURVE NO. C3-003
 REQUIREMENTS 2ND SECTION
 REMARKS CASE 1



รูป ง.3 เส้นโค้งความสัมพันธ์ระหว่างความดันที่ปล่อยและอัตราการไหลเชิงปริมาตรของคอมเพรสเซอร์ขั้นที่ 2

ง.2.2 เส้นโค้งความสัมพันธ์ระหว่างประสิทธิภาพโพลีทรอปิกและอัตราการไหลเชิงปริมาตรของคอมเพรสเซอร์ขั้นที่ 2

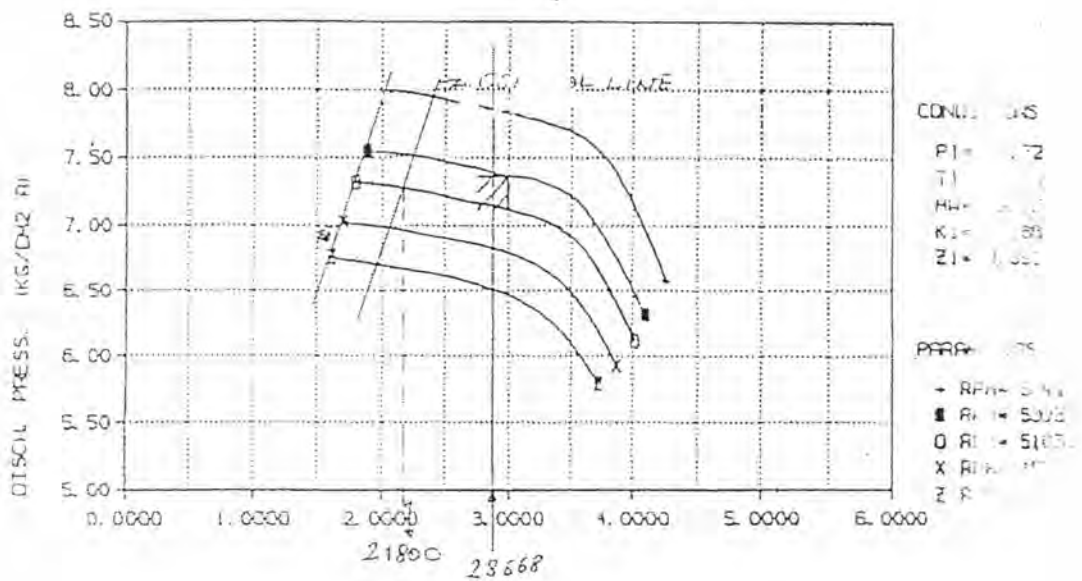


รูป ง.4 เส้นโค้งความสัมพันธ์ระหว่างประสิทธิภาพโพลีทรอปิกและอัตราการไหลเชิงปริมาตรของคอมเพรสเซอร์ขั้นที่ 2

ง.3 เส้นโค้งลักษณะเฉพาะของคอมเพรสเซอร์ชั้นที่ 3

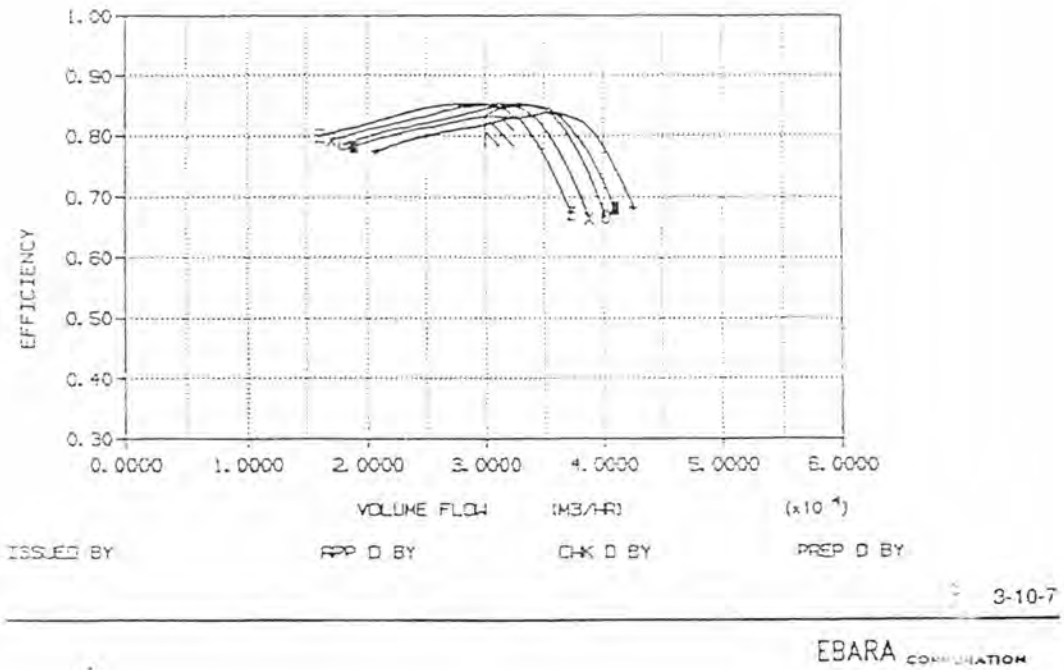
ง.3.1 เส้นโค้งความสัมพันธ์ระหว่างความดันที่ปล่อยและอัตราการไหลเชิงปริมาตรของคอมเพรสเซอร์ชั้นที่ 3

FINAL USER MAP TA PHUT CURVE NO. C3-005
 REQUIREMENTS 3RD SECTION
 REMARKS CASE 1



รูป ง.5 เส้นโค้งความสัมพันธ์ระหว่างความดันที่ปล่อยและอัตราการไหลเชิงปริมาตรของคอมเพรสเซอร์ชั้นที่ 3

ง.3.2 เส้นโค้งความสัมพันธ์ระหว่างประสิทธิภาพโพลีทรอปิกและอัตราการไหลเชิงปริมาตรของคอมเพรสเซอร์ขั้นที่ 3

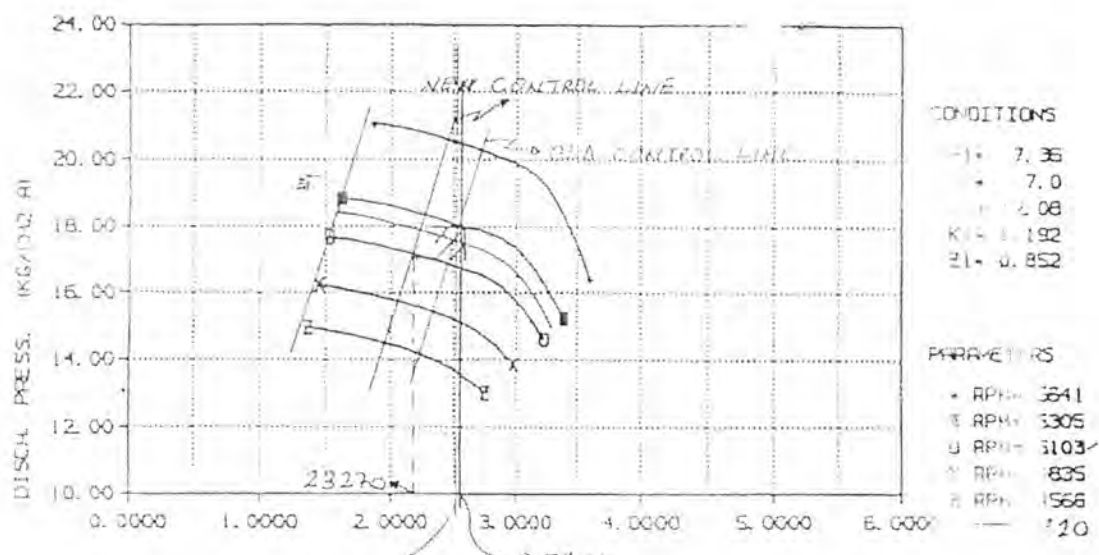


รูป ง.6 เส้นโค้งความสัมพันธ์ระหว่างประสิทธิภาพโพลีทรอปิกและอัตราการไหลเชิงปริมาตรของคอมเพรสเซอร์ขั้นที่ 3

ง.4 เส้นโค้งลักษณะเฉพาะของคอมเพรสเซอร์ขั้นที่ 4

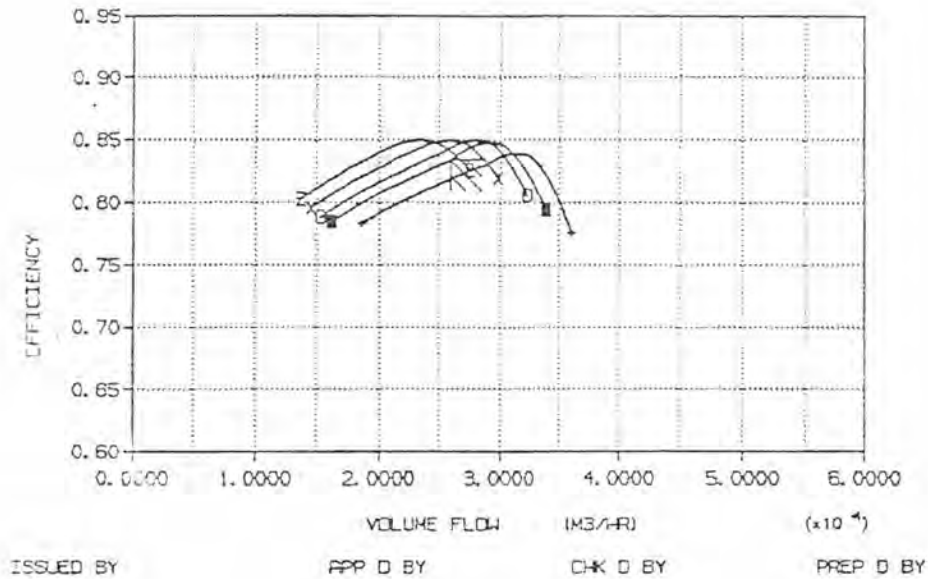
ง.4.1 เส้นโค้งความสัมพันธ์ระหว่างความดันที่ปล่อยและอัตราการไหลเชิงปริมาตรของคอมเพรสเซอร์ขั้นที่ 4

CUSTOMER	THAI OLEFINS	MODEL	4849-5
FINAL USER	MAP TA PLUT	CURVE NO.	C3-007
REQUIREMENTS	4TH SECTION		
REMARKS	CASE 1		



รูป ง.7 เส้นโค้งความสัมพันธ์ระหว่างความดันที่ปล่อยและอัตราการไหลเชิงปริมาตรของคอมเพรสเซอร์ขั้นที่ 4

จ.4.2 เส้นโค้งความสัมพันธ์ระหว่างประสิทธิภาพโพลีทรอปิกและอัตราการผลิตไฮโดรเจน ปริมาตรของคอมเพรสเซอร์ขั้นที่ 4



3-10-9

รูปจ.8 เส้นโค้งความสัมพันธ์ระหว่างประสิทธิภาพโพลีทรอปิกและอัตราการผลิตไฮโดรเจน ปริมาตรของคอมเพรสเซอร์ขั้นที่ 4

ประวัติผู้เขียนวิทยานิพนธ์

นางสาวมณีรัตน์ กาวาฮารา เกิดที่จังหวัดตรัง สำเร็จการศึกษาระดับปริญญาตรี วิศวกรรมศาสตรบัณฑิต สาขาวิศวกรรมเคมี คณะวิศวกรรมศาสตร์ มหาวิทยาลัยศรีนครินทรวิโรฒ ประสานมิตร เมื่อปี พ.ศ. 2539 และศึกษาต่อในหลักสูตรวิศวกรรมศาสตรมหาบัณฑิต สาขาวิศวกรรมเคมี คณะวิศวกรรมศาสตร์ จุฬาลงกรณ์มหาวิทยาลัย ในปีการศึกษา 2540